







AB 1294



LABORATORIUM ANTEO Sp. z o.o.

ul. Chryzantem 23
41-700 Ruda Śląska
e-mail: laboratorium@anteo.pl

SPRAWOZDANIE Z BADAŃ POLA ELEKTROMAGNETYCZNEGO W OTOCZENIU STACJI BAZOWEJ TELEFONII KOMÓRKOWEJ SIECI P4 DLA POTRZEB OCHRONY LUDZI I ŚRODOWISKA

Nr stacji	Miejsce wykonania pomiarów:	Data wykonania pomiarów:	Data wydania sprawozdania:
ZAW2010C	42-400 Zawiercie, ul. Mickiewicza 12	2026-01-13	2026-01-13
Zleceniodawca:	P4 Sp. z o.o. ul. Wynalazek 1, 02-677 Warszawa		
Nr ewidencyjny sprawozdania:	SP_2025-11-004-8-S_ZAW2010C		
Sprawozdanie wykonała:	Sprawdził:	Autoryzował/Data:	
 Specjalista ds. dokumentacji	 Kierownik laboratorium	  Kierownik laboratorium	

1. Wstęp

Badania wykonano na podstawie umowy z dnia 2018-08-31 pomiędzy firmą **Laboratorium Anteo sp. z o.o., ul. Chryzantem 23/1, 41-700 Ruda Śląska**, a firmą **P4 Sp. z o.o., ul. Wynalazek 1, 02-677 Warszawa**, przekazanej do realizacji Laboratorium Anteo.

Sprawozdanie przedstawia wyniki sprawdzenia dotrzymania dopuszczalnych poziomów pola elektromagnetycznych w środowisku w otoczeniu instalacji - stacji bazowej **ZAW2010C** będącej obiektem radiokomunikacyjnym P4 Sp. z o.o., w miejscach dostępnych dla ludności w otoczeniu ww. instalacji.

Wyniki pomiarów odnoszą się wyłącznie do istniejącej konfiguracji instalacji antenowej. Każda zmiana konfiguracji o ile zmiana ta może mieć wpływ na zmiany poziomów pola elektromagnetycznego wiąże się z koniecznością wykonania nowego badania

Laboratorium badawcze akredytowane przez PCA, Nr AB1294. Data ważności akredytacji: do 2027-10-27. Zakres wykonywanych przez laboratorium badań podany jest pod adresem www.pca.gov.pl.

Akredytacja Laboratorium w odniesieniu do normy PN-EN ISO\IEC 17025:2018-02 oznacza spełnienie wymagań dotyczących kompetencji technicznych i systemu zarządzania, koniecznych dla zapewnienia wiarygodnych technicznie wyników badań.

2. Metoda badań

- Załącznik do rozporządzenia Ministra Klimatu z dnia 17 lutego 2020 r. *Sposoby sprawdzania dotrzymywania dopuszczalnych poziomów pól elektromagnetycznych w środowisku (Dz. U. 2022, poz. 2630)*.

3. Akty prawne

- Obwieszczenie Ministra Klimatu i Środowiska z dnia 21 listopada 2022 r. *w sprawie ogłoszenia jednolitego tekstu rozporządzenia Ministra Klimatu w sprawie sposobów sprawdzania dotrzymywania dopuszczalnych poziomów pól elektromagnetycznych w środowisku (Dz. U. 2022, poz. 2630)*.
- Rozporządzenie Ministra Zdrowia z dnia 17 grudnia 2019 r. *w sprawie dopuszczalnych poziomów pól elektromagnetycznych w środowisku (Dz. U. 2019, poz. 2448)*.

4. Odstępstwa/ograniczenia i uwarunkowania metody badawczej

Brak odstępstw/ograniczeń metody badawczej.

5. Lokalizacja obiektu badań

Badany obiekt znajduje się w miejscowości 42-400 Zawiercie, ul. Mickiewicza 12.
Współrzędne geograficzne obiektu: 19°26'13.63"E, 50°29'34.23"N.

6. Opis badania

Badany obiekt jest obiektem radiokomunikacyjnym sieci komórkowej (radiowa stacja bazowa telefonii mobilnej w sieci o przeznaczeniu publicznym). Anteny zainstalowano na dachu budynku. Na obiekcie zainstalowano urządzenia pracujące w pasmach częstotliwości 2600MHz, 2100MHz, 1800MHz, 800MHz, 700MHz oraz radiolinii 80GHz. Pomiar pola elektromagnetycznego zostały wykonane w szczególności w tych miejscach, w których na podstawie przeprowadzonych obliczeń, stwierdzono występowanie w danych zakresach częstotliwości pola elektromagnetycznego o poziomach zbliżonych do dopuszczalnych. Na kierunku zbliżonym do azymutu anten pomiar wykonano do obliczonej odległości występowania pola elektromagnetycznego o najwyższym poziomie w miejscach dostępnych dla ludności, pochodzących z badanej instalacji. Pomiar wykonano w odległości nie mniejszej niż 0,3 m od urządzeń, obiektów i elementów metalowych.

Dane dotyczące źródeł promieniowania (min. wysokość anten, częstotliwość pracy) oraz współrzędne geograficzne obiektu z punktu 8. Parametry techniczne obiektu badań pochodzą od zleceniodawcy.

Badanie zostało przeprowadzone w godz. od 10:45 do 12:20 przez:



7. Warunki atmosferyczne

Temperatura powietrza	Przed: 0,7° C	Po: 0,7° C
Wilgotność powietrza	Przed: 74,3%	Po: 74,3%

Brak opadów atmosferycznych w czasie przeprowadzania badania.
 Pomiaru zostały wykonane przy temperaturze i wilgotności względnej nie wyższej niż dopuszczalna specyfikacja miernika.

8. Parametry techniczne obiektu badań

Parametry techniczne przekazane przez zleceniodawcę.

Tabela nr 1 – Parametry systemu nadawczo – odbiorczego pracującego w paśmie 2600MHz, 2100MHz, 1800MHz, 900MHz, 800MHz, 700MHz

Tabela nr 2 – Parametry linii radioliniowej

Parametry systemu nadawczo odbiorczego pracującego w paśmie – 2600MHz, 2100MHz, 1800MHz, 900MHz, 800MHz, 700MHz – tabela 1

Charakterystyka promieniowania				kierunkowa					
Rzeczywisty czas pracy [h/dobę]				Całodobowa 24h					
Warunki pracy				Znamionowe					
Rodzaj wytwarzanego pola				stacjonarne					
Lp.	Typ nadajnika	Antena Producent / Typ	Azymut [°]	Wysokość środka elektr. anteny [m n.p.t.]	Pasmo [Mhz]	Kąt nachylenia [°]	EIRP dla anteny [W]	LON	LAT
1	DBS3xxx/5xxx	Huawei A03120PA00	70	16,8	700	2 - 12	28363	19°26'13.63"E	50°29'34.23"N
	DBS3xxx/5xxx				800	2 - 12		19°26'13.63"E	50°29'34.23"N
	DBS3xxx/5xxx				900	2 - 12		19°26'13.63"E	50°29'34.23"N
	DBS3xxx/5xxx				1800	2 - 12		19°26'13.63"E	50°29'34.23"N
	DBS3xxx/5xxx				2100	2 - 12		19°26'13.63"E	50°29'34.23"N
2	DBS3xxx/5xxx	Huawei A03120PA00	70	16,8	700	2 - 12	20444	19°26'13.63"E	50°29'34.23"N
	DBS3xxx/5xxx				800	2 - 12		19°26'13.63"E	50°29'34.23"N
	DBS3xxx/5xxx				900	2 - 12		19°26'13.63"E	50°29'34.23"N
	DBS3xxx/5xxx				2600	2 - 12		19°26'13.63"E	50°29'34.23"N
3	DBS3xxx/5xxx	Huawei A03120PA00	200	16,8	700	2 - 12	28363	19°26'11.14"E	50°29'34.08"N
	DBS3xxx/5xxx				800	2 - 12		19°26'11.14"E	50°29'34.08"N
	DBS3xxx/5xxx				900	2 - 12		19°26'11.14"E	50°29'34.08"N
	DBS3xxx/5xxx				1800	2 - 12		19°26'11.14"E	50°29'34.08"N
	DBS3xxx/5xxx				2100	2 - 12		19°26'11.14"E	50°29'34.08"N
4	DBS3xxx/5xxx	Huawei A03120PA00	200	16,8	700	2 - 12	20444	19°26'11.14"E	50°29'34.08"N
	DBS3xxx/5xxx				800	2 - 12		19°26'11.14"E	50°29'34.08"N
	DBS3xxx/5xxx				900	2 - 12		19°26'11.14"E	50°29'34.08"N
	DBS3xxx/5xxx				2600	2 - 12		19°26'11.14"E	50°29'34.08"N
5	DBS3xxx/5xxx	Huawei A03120PA00	325	16,8	700	2 - 12	28363	19°26'11.18"E	50°29'34.37"N
	DBS3xxx/5xxx				800	2 - 12		19°26'11.18"E	50°29'34.37"N
	DBS3xxx/5xxx				900	2 - 12		19°26'11.18"E	50°29'34.37"N

	DBS3xxx/5xxx				1800	2 - 12		19°26'11.18"E	50°29'34.37"N
	DBS3xxx/5xxx				2100	2 - 12		19°26'11.18"E	50°29'34.37"N
6	DBS3xxx/5xxx	Huawei A03120PA00	325	16,8	700	2 - 12	20444	19°26'11.18"E	50°29'34.37"N
	800				2 - 12	19°26'11.18"E		50°29'34.37"N	
	900				2 - 12	19°26'11.18"E		50°29'34.37"N	
	2600				2 - 12	19°26'11.18"E		50°29'34.37"N	

Parametry systemu nadawczo – odbiorczego linii radioliniowej – Tabela nr 2

Charakterystyka promieniowania				kierunkowa					
Rzeczywisty czas pracy [h/dobę]				24					
Rodzaj wytwarzanego pola				stacjonarne					
Linia radiowa				Antena					
L p.	Typ nadajnika	Częstotliwość pracy [GHz]	Moc wyjściowa [dBm]	Typ/producent	Średnica anteny [m]	Azymut [°]	Wysokość zainstal. [m]	LON	LAT
1	OPTIX RTN/HUAWEI	80	18	0.3-80(A80S03)	0,3	147	17,3	19°26'11.14"E	50°29'34.08"N

9. Sposób identyfikacji pola elektromagnetycznego

Niezbędnych informacji na temat źródeł pola udzielił Specjalista ds. Administracji Projektu P4 Sp. z o.o., który nie brał udziału w badaniach. Identyfikację źródeł i parametrów technicznych wykonano na podstawie analizy przekazanej ze zleceniem dokumentacji oraz obserwacji w miejscu wykonywania badań.

Z informacji zleciodawcy wynika, że podczas badania anteny użytkownika o sterowanych wiązkach zostały ustawione w sposób opisany zgodnie z punktem 13 ppkt.2 załącznika do rozporządzenia Ministra Klimatu z dnia 17 lutego 2020 r. (Dz. U. 2022 poz. 2630).

10. Opis terenu

Stacja bazowa telefonii komórkowej sieci P4 Sp. z o.o. ZAW2010C zlokalizowana jest na dachu budynku w miejscowości 42-400 Zawiercie, ul. Mickiewicza 12. Urządzenia nadawczo – odbiorcze znajdują się w szafach, które umieszczone są na dachu. Bezpośrednim sąsiedztwem stacji są tereny użyteczności publicznej oraz zabudowa mieszkaniowa.

W badanym środowisku nie zidentyfikowano innych urządzeń/instalacji mogących mieć wpływ na wyniki mierzonego pola EM. Pomiary zostały przeprowadzone jako szerokopasmowe w danym zakresie częstotliwości, w związku z tym uwzględniają inne grupy instalacji/urządzeń emitujących pola EM.

11. Sprzęt pomiarowy

Tabela nr 3 – Sprzęt pomiarowy

Lp.	Nazwa i typ urządzenia	Numer identyfikacyjny
1.	Zestaw pomiarowy NARDA NBM-520 wraz z sondą EF9091*	2403/01B D-2211 2402/18B A-0148
2.	Zestaw pomiarowy NARDA NBM-520 wraz z sondą EF0691*	2403/01B D-2211 2402/14B H-1142
3.	Termohigrometr UNI-T UT333	C221221326
4.	Dalmierz laserowy GLM 250 VF	209147077

*Zestaw pomiarowy przed wykonaniem pomiarów został sprawdzony za pomocą uniwersalnego testera sond UTEST-7

Tabela nr 4 – Szerokopasmowe mierniki pola elektromagnetycznego

Lp.	Nazwa i typ urządzenia	Zakres pomiarowy	Numer świadectwa wzorcowania	Data następnego wzorcowania
1.	Miernik Narda NBM-520	Zależny od sondy	LWiPM/W/495/25**	2027-11-05
2.	Sonda Narda EF9091	0,56 – 320V/m 80MHz – 90GHz	LWiPM/W/495/25**	2027-11-05
3.	Sonda Narda EF0691	0,58 – 540V/m 0,1MHz – 6GHz	LWiPM/W/495/25**	2027-11-05

**LWiPM – Laboratorium Wzorców i Metrologii Pola Elektromagnetycznego, Instytut Telekomunikacji, Teleinformatyki i Akustyki, Politechnika Wroclawska

Tabela nr 5 – Sprzęt uzupełniający

Lp.	Nazwa i typ urządzenia	Zakres pomiarowy	Numer świadectwa wzorcowania	Data następnego sprawdzenia
1.	Termohigrometr UNI-T UT333	-20 ÷ +60°C 0 – 100%RH	466-1223/23***	2027-07-15
2.	Dalmierz laserowy Bosch GLM 250 VF	0,05 – 250m	215.1-M11-4180-116/13****	2026-06-19

***Laboratorium Pomiarowe INTROL

****Zakład Długości Kąta GUM

12. Wyniki badań

Tabela nr 6 – Wartości natężenia pola elektrycznego i magnetycznego

Nr pionu	Opis miejsca pomiaru	Zmierzona wartość natężenia pola ² E [V/m]	Natężenie pola ³ E [V/m]	Natężenie pola ⁴ H [A/m]	Wysokość Pomiaru ⁵ [m]	Współrzędne geograficzne pionu	Wartości WME ⁶	Wartości WMH ⁶
1	¹ DPP, w płaszczyźnie otworu okiennego, ul. Mickiewicza 9	1,3	1,6	0,004	1,75	-	0,06	0,06
2	¹ PKP 305°, przy budynku, ul. Mickiewicza 11c	2,3	2,8	0,008	1,80	50.49302 19.43612	0,10	0,10
3	¹ GKP 325°, przy budynku, ul. Mickiewicza 11	2,2	2,7	0,007	1,60	50.49322 19.43602	0,10	0,10
4	DPP, w płaszczyźnie otworu okiennego, ul. Mickiewicza 13	2,3	2,8	0,008	1,70	-	0,10	0,10
5	GKP 325°, przy garażach	1,9	2,4	0,006	1,60	50.49342 19.43580	0,08	0,09
6	GKP 325°, chodnik, ul. Broniewskiego 8	5,1	6,3	0,017	1,65	50.49382 19.43537	0,23	0,23
7	DPP, w płaszczyźnie otworu okiennego, ul. Mickiewicza 14/35	7,9	9,8	0,026	1,70	-	0,35	0,36
8	PKP 42°, przy budynku, ul. Mickiewicza 14	2,9	3,6	0,010	1,80	50.49310 19.43717	0,13	0,13
9	DPP/GKP 70°, w płaszczyźnie otworu okiennego, ul. Gałczyńskiego 10/10	15,6	19,2	0,051	1,75	-	0,69	0,69
10	GKP 70°, przy budynku przedszkola	1,2	1,5	0,004	1,80	50.49316 19.43816	0,05	0,05
11	GKP 70°, przedszkole, parking	1,1	1,4	0,004	1,60	50.49325 19.43868	0,05	0,05
12	DPP, w płaszczyźnie otworu okiennego, Gałczyńskiego 8/32	4,4	5,4	0,014	1,70	-	0,19	0,20
13	PKP 147°, teren zieleni	0,6	0,7	0,002	0,3-2,00	50.49235 19.43681	0,03	0,03
14	GKP 200°, przy garażach	4,5	5,6	0,015	1,60	50.49212 19.43594	0,20	0,20
15	GKP 200°, chodnik, ul. Broniewskiego	3,1	3,8	0,010	1,80	50.49175 19.43573	0,14	0,14
16	GKP 200°, przy budynku, ul. Mickiewicza 10	2,6	3,2	0,009	1,80	50.49247 19.43627	0,11	0,12

17	PKP 207°, przy budynku, ul. Mickiewicza 5	2,8	3,5	0,009	1,90	50.49261 19.43606	0,12	0,13
18	DPP, w płaszczyźnie otworu okiennego, ul. Mickiewicza 10/35	14,4	17,8	0,047	1,75	-	0,64	0,65
19	PKP 147°, przy bloku, ul. Mickiewicza 10	2,9	3,6	0,010	1,80	50.49259 19.43673	0,13	0,13

* wynik poniżej dolnego zakresu pomiarowego miernika - przy wskazaniach sondy poniżej dolnego zakresu pomiarowego miernika dla punktu pomiarowego, przyjęto do obliczeń wyniku skorygowanego wartość skorelowaną z rzeczywistym wynikiem pomiaru tj. dolny zakres pomiarowy miernika 0,6 V/m.

¹ - GKP – Główny Kierunek Pomiarowy, PKP- Pomocniczy kierunek pomiarowy, DPP – Dodatkowy pion pomiarowy

² – wynik pomiaru, z uwzględnieniem współczynników Cf (charakterystyka częstotliwościowa) i Cd (charakterystyka dynamiczna).

³ - wynik pomiaru natężenia skutecznego pola elektromagnetycznego powiększony o niepewności pomiaru. Wartość chwilowa, zgodnie z pkt. 11 załącznika do rozporządzenia Ministra Klimatu z dnia 17 lutego 2020 r. (Dz. U. 2022 poz. 2630).

⁴ - wartość wyznaczona na podstawie pomiaru wartości skutecznej natężenia pola elektrycznego, z uwzględnieniem niepewności pomiaru, dla pomiarów wykonanych od źródła pól elektromagnetycznych, z zależności opisanej w pkt.3 załącznika do rozporządzenia Ministra Klimatu z dnia 17 lutego 2020 r. (Dz. U. 2022 poz.2630).

⁵- wysokość liczona jest od poziomu podłoża, gruntu

⁶ - wartości wskaźnikowe zgodnie z pkt.25 ppkt.1 załącznika do rozporządzenia Ministra Klimatu z dnia 17 lutego 2020 r. (Dz. U. 2022 poz. 2630):

$$WM_E = \frac{E}{\min(ME_{gr})}$$

$$WM_H = \frac{H}{\min(MH_{gr})}$$

gdzie:

WME (WMH) – oznacza wartość wskaźnikową poziomu emisji pól elektromagnetycznych dla miejsc dostępnych dla ludności dla składowej elektrycznej (magnetycznej) pola,

E (H) – oznacza zmierzoną wartość skuteczną natężenia pola elektrycznego E, wyrażoną w V/m, (natężenia pola magnetycznego H, wyrażonego w A/m), uśrednioną w sposób określony w przepisach wydanych na podstawie art. 122 ust. 1 ustawy z dnia 27 kwietnia 2001 r. – Prawo ochrony środowiska lub zgodnie z pkt. 11 załącznika do rozporządzenia Ministra Klimatu z dnia 17 lutego 2020 r. (Dz. U. 2022 poz. 2630).

min(ME_{gr}), (min MH_{gr}) – oznacza najniższą dopuszczalną wartość składowej elektrycznej (magnetycznej) pola dla objętego pomiarami zakresu częstotliwości dla miejsc dostępnych dla ludności określoną w przepisach wydanych na podstawie art. 122 ust. 1 ustawy z dnia 27 kwietnia 2001 r. – Prawo ochrony środowiska wyrażoną w V/m rozporządzeniem Min. Zdrowia z 17 grudnia 2019 roku Dz.U 2019 poz.2448.

Oszacowana niepewność rozszerzona przeprowadzonych pomiarów natężenia pola elektromagnetycznego nie przekracza 23,8 % (niepewność rozszerzona przy prawdopodobieństwie rozszerzenia ok.95% i współczynniku k=2).

Badanie wykonywano metodą dwóch sond szerokopasmowych opisaną w dokumencie Z7.4.5 Ocena możliwości realizacji metody badawczej wydanie z 2024-06-12. W każdym z pionów pomiarowych sprawdzono i wykluczono udział promieniowania radiolinii w badanym widmie, korzystając z w/w metody.

W czasie badania wykonano pomiar kontrolny. Zmienność poziomu pola elektromagnetycznego w pkt. 6 referencyjnych została uwzględniona w niepewności pomiarów.

Punkt referencyjny	Pomiar 1		Pomiar 2		Zmienność poziomu pola-EM
	6,3 V/m	- A/m	6,3 V/m	-A/m	<30%

13. Podsumowanie

Dopuszczalny poziom promieniowania, dla poszczególnych zakresów częstotliwości, charakteryzują parametry fizyczne określone w załączniku do Rozporządzenia Ministra Zdrowia z dnia 17 grudnia 2019 r. w sprawie dopuszczalnych poziomów pól elektromagnetycznych w środowisku (Dz. U. 2019, poz. 2448) – tabela nr 7.

Tabela nr 7 – Dopuszczalne poziomy pola elektromagnetycznego dla miejsc dostępnych dla ludności.

Zakres częstotliwości pola elektromagnetycznego	Składowa elektryczna E (V/m)	Składowa magnetyczna H (A/m)	Gęstość mocy S (W/m ²)
0 Hz	10000	2500	ND
Od 0 Hz do 0,5 Hz	ND	2500	ND
Od 0,5 Hz do 50 Hz	10000	60	ND
Od 0,05 Hz do 1 kHz	ND	3 / f	ND
Od 1 kHz do 3 kHz	250 / f	5	ND
Od 3 kHz do 150 kHz	87	5	ND
Od 0,15 MHz do 1 MHz	87	0,73 / f	ND
Od 1 MHz do 10 MHz	87 / f ^{0,5}	0,73 / f	ND
Od 10 MHz do 400 MHz	28	0,073	2

Od 400 MHz do 2000 MHz	$1,375 \times f^{0,5}$	$0,0037 \times f^{0,5}$	f / 200
Od 2 GHz do 300 GHz	61	0,16	10

Podczas badania przyjęto, jako wartości dopuszczalną poziomą pola elektromagnetycznego w środowisku wartość 2 W/m^2 (28 V/m), tj. wartość dopuszczalną dla dolnego zakresu pasma 400MHz - 2000MHz.

Pomiary wykonano dla średniego kąta pochylenia wiązki. Przeprowadzone badania w środowisku, w obszarze pomiarowym, w otoczeniu badanej stacji bazowej, w zmierzonych pionach pomiarowych, nie wykazały przekroczenia 60% wartości dopuszczalnych poziomów pola elektromagnetycznego. W związku z tym nie wymagane są dodatkowe pomiary dla największego i najmniejszego stosowanego lub planowanego kąta pochylenia wiązki, zgodnie z pkt 13. ppkt. 2 załącznika do rozporządzenia Ministra Klimatu z dnia 17 lutego 2020 r. (Dz. U. 2022 poz. 2630). Zgodnie z pkt 25 rozporządzenia Ministra Klimatu z dnia 17 lutego 2020 r. (Dz. U. 2022 poz. 2630), nie jest wymagane wykonanie pomiaru miernikiem selektywnym.

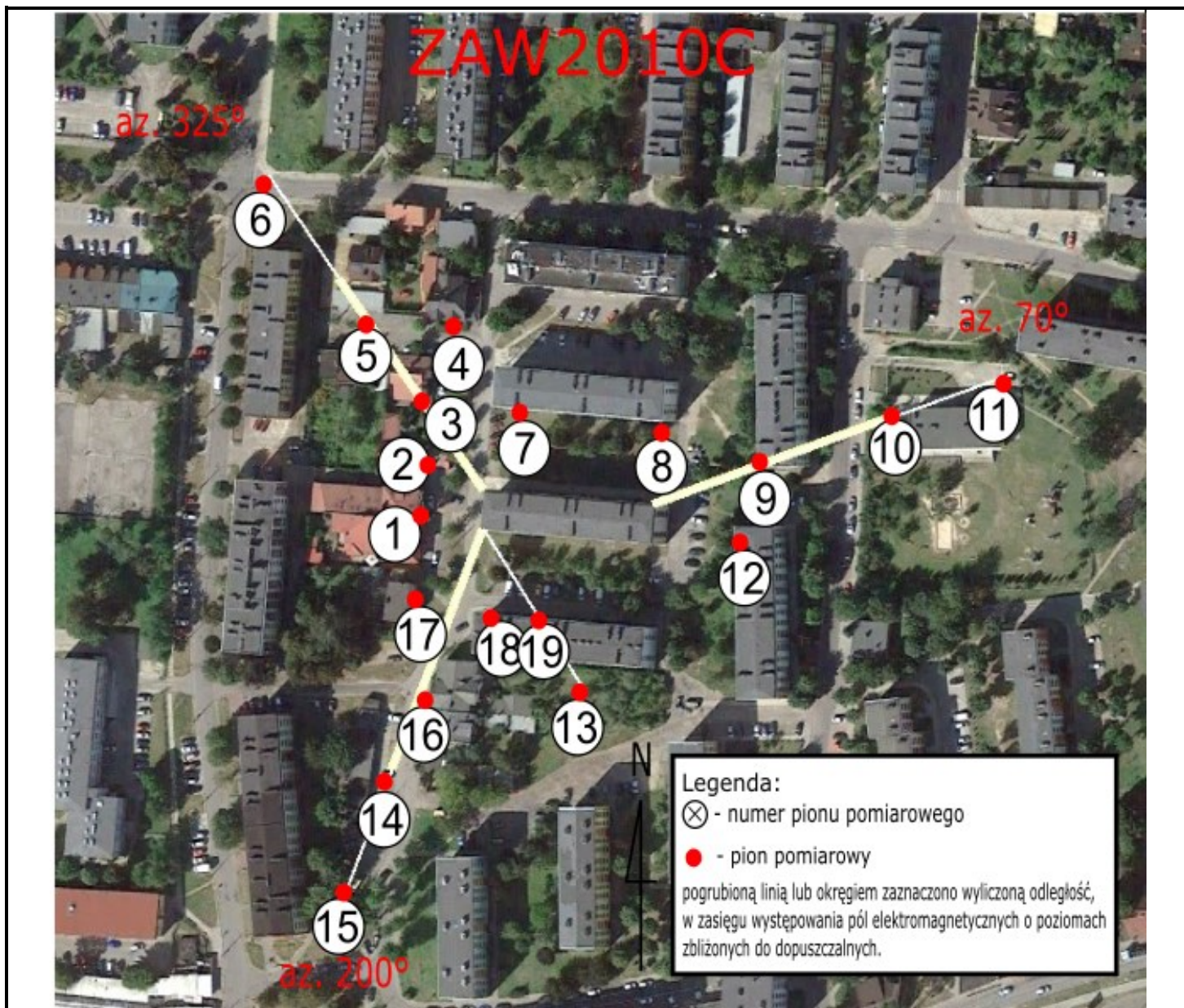
Stwierdzenie zgodności:

Na podstawie wytycznych wskazanych w obwieszczeniu Ministra Klimatu i Środowiska z dnia 21 listopada 2022 r. w sprawie ogłoszenia jednolitego tekstu rozporządzenia Ministra Klimatu w sprawie sposobów sprawdzania dotrzymywania dopuszczalnych poziomów pól elektromagnetycznych w środowisku (Dz. U. 2022, poz. 2630) oraz na podstawie otrzymanych wyników pomiarów i informacji uzyskanych od klienta, stwierdzono iż w miejscach dostępnych dla ludności do których uzyskano dostęp, w żadnym punkcie/pionie pomiarowym, w środowisku wokół stacji bazowej **ZAW2010C** nie występują przekroczenia dopuszczalnych poziomów pola elektromagnetycznego, określonych w tabeli nr 7, w badanym zakresie pomiarowym od 400MHz do 90 GHz.

Dopuszczalne poziomy pola elektromagnetycznego w środowisku określone w przepisach wydanych na podstawie art.122 ust. 1 ustawy z dnia 27 kwietnia 2001 r. – Prawo ochrony środowiska uznaje się za dotrzymane w badanym obszarze pomiarowym, w zmierzonych pionach pomiarowych, gdyż w wyniku zastosowania sprawdzenia dotrzymywania dopuszczalnych poziomów pola elektromagnetycznego w środowisku, o którym mowa w pkt. 25 ppkt.1 i pkt. 26 (załącznika do rozporządzenia Ministra Klimatu z dnia 17 lutego 2020 r. Dz. U. 2022 poz. 2630), żadna z wartości wskaźnikowych nie przekracza 1.

14. Załączniki

Załącznik nr 1 – Rysunek poglądowy terenu, rozmieszczenie pionów pomiarowych na terenie wokół stacji



Zdjęcie satelitarne: Image © 2025 Google

Koniec sprawozdania